

Starkniederschlagshöhen und -spenden gemäß KOSTRA-DWD-2020

Rasterfeld 192197

(Zeile 192, Spalte 197)

Regenspende und Bemessungsniederschlagswerte in Abhängigkeit von Wiederkehrzeit T und Dauerstufe D

| Dauerstufe D | | Wiederkehrzeit T | | | | | | | | | | | | | | | | | |
|--------------|-----|------------------|------------|------|------------|-------|------------|-------|------------|-------|------------|-------|------------|-------|------------|-------|------------|-------|------------|
| | | 1 a | | 2 a | | 3 a | | 5 a | | 10 a | | 20 a | | 30 a | | 50 a | | 100 a | |
| min | Std | mm | l / (s ha) | mm | l / (s ha) | mm | l / (s ha) | mm | l / (s ha) | mm | l / (s ha) | mm | l / (s ha) | mm | l / (s ha) | mm | l / (s ha) | mm | l / (s ha) |
| 5 | | 8,0 | 266,7 | 9,9 | 330,0 | 11,1 | 370,0 | 12,6 | 420,0 | 14,8 | 493,3 | 17,0 | 566,7 | 18,5 | 616,7 | 20,4 | 680,0 | 23,2 | 773,3 |
| 10 | | 10,2 | 170,0 | 12,6 | 210,0 | 14,1 | 235,0 | 16,0 | 266,7 | 18,8 | 313,3 | 21,7 | 361,7 | 23,6 | 393,3 | 26,0 | 433,3 | 29,6 | 493,3 |
| 15 | | 11,7 | 130,0 | 14,4 | 160,0 | 16,1 | 178,9 | 18,3 | 203,3 | 21,5 | 238,9 | 24,7 | 274,4 | 26,9 | 298,9 | 29,7 | 330,0 | 33,7 | 374,4 |
| 20 | | 12,8 | 106,7 | 15,8 | 131,7 | 17,6 | 146,7 | 20,0 | 166,7 | 23,5 | 195,8 | 27,1 | 225,8 | 29,4 | 245,0 | 32,5 | 270,8 | 36,9 | 307,5 |
| 30 | | 14,5 | 80,6 | 17,9 | 99,4 | 19,9 | 110,6 | 22,7 | 126,1 | 26,6 | 147,8 | 30,7 | 170,6 | 33,4 | 185,6 | 36,9 | 205,0 | 41,9 | 232,8 |
| 45 | | 16,4 | 60,7 | 20,2 | 74,8 | 22,5 | 83,3 | 25,6 | 94,8 | 30,1 | 111,5 | 34,7 | 128,5 | 37,7 | 139,6 | 41,7 | 154,4 | 47,3 | 175,2 |
| 60 | 1 | 17,9 | 49,7 | 22,0 | 61,1 | 24,6 | 68,3 | 28,0 | 77,8 | 32,8 | 91,1 | 37,8 | 105,0 | 41,1 | 114,2 | 45,4 | 126,1 | 51,6 | 143,3 |
| 90 | 1,5 | 20,1 | 37,2 | 24,8 | 45,9 | 27,7 | 51,3 | 31,5 | 58,3 | 37,0 | 68,5 | 42,7 | 79,1 | 46,4 | 85,9 | 51,3 | 95,0 | 58,2 | 107,8 |
| 120 | 2 | 21,9 | 30,4 | 27,0 | 37,5 | 30,2 | 41,9 | 34,3 | 47,6 | 40,3 | 56,0 | 46,5 | 64,6 | 50,5 | 70,1 | 55,8 | 77,5 | 63,4 | 88,1 |
| 180 | 3 | 24,7 | 22,9 | 30,5 | 28,2 | 34,0 | 31,5 | 38,7 | 35,8 | 45,4 | 42,0 | 52,4 | 48,5 | 56,9 | 52,7 | 62,9 | 58,2 | 71,4 | 66,1 |
| 240 | 4 | 26,9 | 18,7 | 33,1 | 23,0 | 37,0 | 25,7 | 42,1 | 29,2 | 49,4 | 34,3 | 57,0 | 39,6 | 62,0 | 43,1 | 68,4 | 47,5 | 77,7 | 54,0 |
| 360 | 6 | 30,3 | 14,0 | 37,3 | 17,3 | 41,7 | 19,3 | 47,4 | 21,9 | 55,7 | 25,8 | 64,2 | 29,7 | 69,8 | 32,3 | 77,1 | 35,7 | 87,5 | 40,5 |
| 540 | 9 | 34,1 | 10,5 | 42,0 | 13,0 | 46,9 | 14,5 | 53,4 | 16,5 | 62,7 | 19,4 | 72,3 | 22,3 | 78,6 | 24,3 | 86,8 | 26,8 | 98,6 | 30,4 |
| 720 | 12 | 37,1 | 8,6 | 45,7 | 10,6 | 51,1 | 11,8 | 58,1 | 13,4 | 68,2 | 15,8 | 78,6 | 18,2 | 85,4 | 19,8 | 94,4 | 21,9 | 107,2 | 24,8 |
| 1080 | 18 | 41,7 | 6,4 | 51,5 | 7,9 | 57,5 | 8,9 | 65,4 | 10,1 | 76,8 | 11,9 | 88,5 | 13,7 | 96,2 | 14,8 | 106,2 | 16,4 | 120,7 | 18,6 |
| 1440 | 24 | 45,4 | 5,3 | 56,0 | 6,5 | 62,5 | 7,2 | 71,1 | 8,2 | 83,5 | 9,7 | 96,2 | 11,1 | 104,6 | 12,1 | 115,6 | 13,4 | 131,3 | 15,2 |
| 2880 | 48 | 55,6 | 3,2 | 68,5 | 4,0 | 76,5 | 4,4 | 87,0 | 5,0 | 102,2 | 5,9 | 117,8 | 6,8 | 128,1 | 7,4 | 141,5 | 8,2 | 160,7 | 9,3 |
| 4320 | 72 | 62,6 | 2,4 | 77,1 | 3,0 | 86,1 | 3,3 | 98,0 | 3,8 | 115,0 | 4,4 | 132,6 | 5,1 | 144,1 | 5,6 | 159,2 | 6,1 | 180,8 | 7,0 |
| 5760 | 96 | 68,0 | 2,0 | 83,9 | 2,4 | 93,7 | 2,7 | 106,5 | 3,1 | 125,1 | 3,6 | 144,2 | 4,2 | 156,7 | 4,5 | 173,1 | 5,0 | 196,7 | 5,7 |
| 7200 | 120 | 72,6 | 1,7 | 89,5 | 2,1 | 100,0 | 2,3 | 113,7 | 2,6 | 133,5 | 3,1 | 153,9 | 3,6 | 167,3 | 3,9 | 184,8 | 4,3 | 209,9 | 4,9 |
| 8640 | 144 | 76,6 | 1,5 | 94,4 | 1,8 | 105,4 | 2,0 | 119,9 | 2,3 | 140,8 | 2,7 | 162,3 | 3,1 | 176,4 | 3,4 | 194,9 | 3,8 | 221,3 | 4,3 |
| 10080 | 168 | 80,1 | 1,3 | 98,7 | 1,6 | 110,3 | 1,8 | 125,4 | 2,1 | 147,3 | 2,4 | 169,8 | 2,8 | 184,5 | 3,1 | 203,8 | 3,4 | 231,5 | 3,8 |

Starkniederschlagshöhen und -spenden gemäß KOSTRA-DWD-2020

Rasterfeld 192197

(Zeile 192, Spalte 197)

Örtliche Unsicherheiten in Abhängigkeit von Wiederkehrzeit T und Dauerstufe D

| Dauerstufe D | | Wiederkehrzeit T | | | | | | | | |
|--------------|-----|------------------|-----|-----|-----|------|------|------|------|-------|
| | | 1 a | 2 a | 3 a | 5 a | 10 a | 20 a | 30 a | 50 a | 100 a |
| min | Std | ± % | ± % | ± % | ± % | ± % | ± % | ± % | ± % | ± % |
| 5 | | 20 | 21 | 21 | 22 | 23 | 23 | 24 | 24 | 24 |
| 10 | | 23 | 24 | 25 | 25 | 26 | 27 | 27 | 28 | 28 |
| 15 | | 24 | 25 | 26 | 27 | 28 | 28 | 29 | 29 | 30 |
| 20 | | 24 | 26 | 27 | 27 | 28 | 29 | 29 | 30 | 30 |
| 30 | | 24 | 26 | 27 | 27 | 28 | 29 | 30 | 30 | 30 |
| 45 | | 24 | 25 | 26 | 27 | 28 | 29 | 29 | 29 | 30 |
| 60 | 1 | 23 | 24 | 25 | 26 | 27 | 28 | 28 | 29 | 29 |
| 90 | 1,5 | 22 | 23 | 24 | 25 | 26 | 27 | 27 | 27 | 28 |
| 120 | 2 | 21 | 22 | 23 | 24 | 25 | 25 | 26 | 26 | 27 |
| 180 | 3 | 19 | 21 | 21 | 22 | 23 | 24 | 24 | 25 | 25 |
| 240 | 4 | 18 | 20 | 20 | 21 | 22 | 23 | 23 | 24 | 24 |
| 360 | 6 | 17 | 18 | 19 | 20 | 21 | 21 | 22 | 22 | 23 |
| 540 | 9 | 17 | 17 | 18 | 19 | 19 | 20 | 20 | 21 | 21 |
| 720 | 12 | 16 | 17 | 17 | 18 | 19 | 19 | 20 | 20 | 20 |
| 1080 | 18 | 16 | 17 | 17 | 17 | 18 | 19 | 19 | 19 | 20 |
| 1440 | 24 | 17 | 17 | 17 | 17 | 18 | 18 | 19 | 19 | 19 |
| 2880 | 48 | 18 | 18 | 18 | 18 | 18 | 19 | 19 | 19 | 19 |
| 4320 | 72 | 20 | 19 | 19 | 19 | 19 | 19 | 19 | 20 | 20 |
| 5760 | 96 | 21 | 20 | 20 | 20 | 20 | 20 | 20 | 20 | 20 |
| 7200 | 120 | 22 | 21 | 21 | 21 | 21 | 21 | 21 | 21 | 21 |
| 8640 | 144 | 23 | 22 | 22 | 22 | 22 | 22 | 22 | 22 | 22 |
| 10080 | 168 | 24 | 23 | 23 | 23 | 22 | 22 | 22 | 22 | 22 |

Parameter für abweichende T und D

Lokationsparameter ξ (Xi)

17,99470191

Skalenparameter α (Alpha)

5,81882548

Formparameter κ (Kappa)

-0,1

1. Koutsoyiannis-Parameter θ (Theta)

0,01018615

2. Koutsoyiannis-Parameter η (Eta)

0,70846782

Parameter für dauerstufenübergreifende Extremwertschätzung nach KOUTSOYIANNIS et al. 1998.

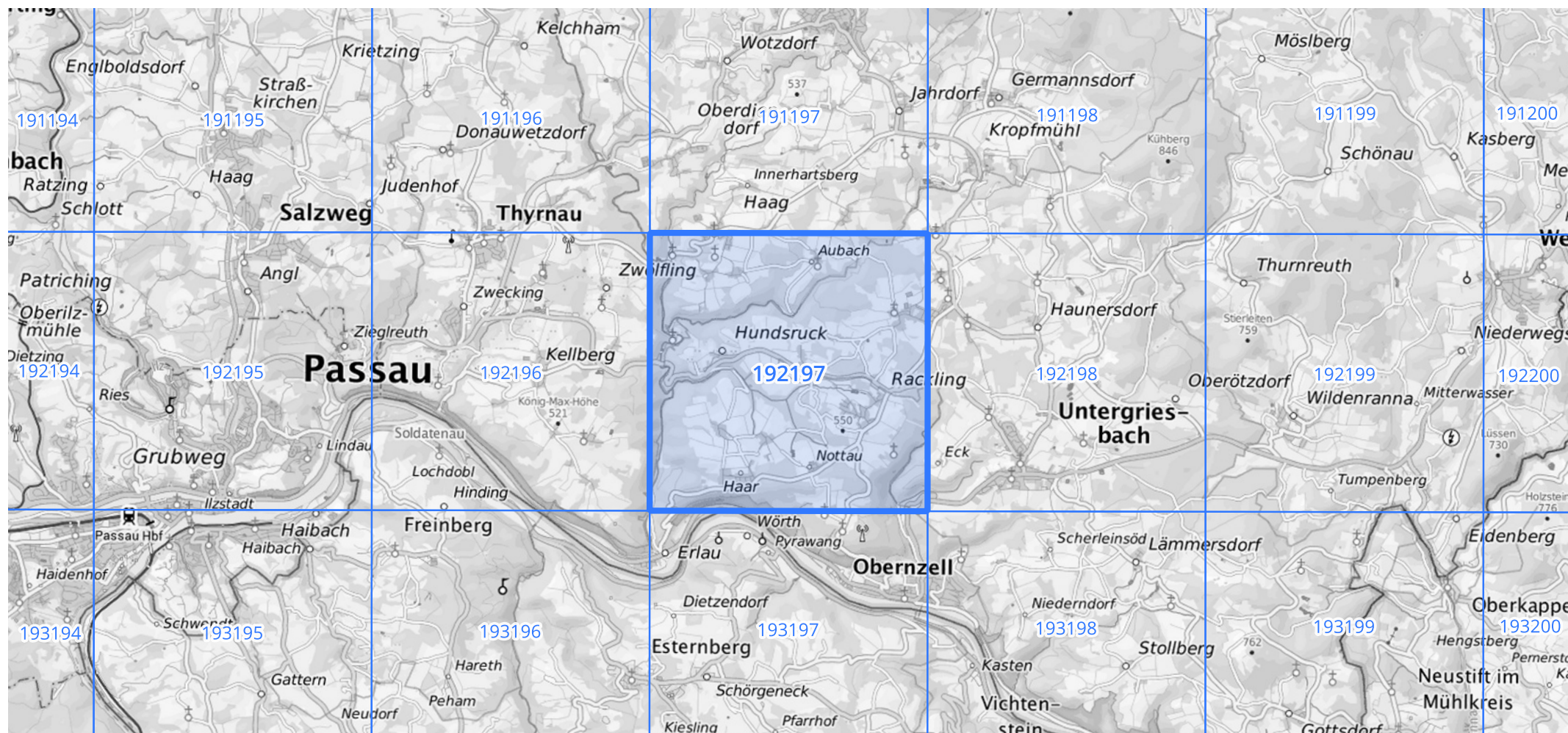
Siehe auch Anwendungshilfe zu KOSTRA-DWD-2020 des Deutschen Wetterdienstes.

Starkniederschlagshöhen und -spenden gemäß KOSTRA-DWD-2020

Rasterfeld 192197

(Zeile 192, Spalte 197)

Übersichtskarte des Rasterfeldes 192197, M 1 : 100 000



Quelle Rasterdaten: KOSTRA-DWD-2020 des Deutschen Wetterdienstes, Stand 12/2022.

Seite 3 von 3

Kartendarstellung: © Bundesamt für Kartographie und Geodäsie (2023), Datenquellen: https://sgx.geodatenzentrum.de/web_public/gdz/datenquellen/Datenquellen_TopPlusOpen.html

Für die Richtigkeit und Aktualität der Angaben wird keine Gewähr übernommen. Erstellt 01/2023.